

การสร้างแบบจำลองทางคณิตศาสตร์ของวัสดุยืดหยุ่นหนืดเชิงเส้น
โดยวิธีระบุเอกลักษณ์ของระบบ
Mathematical Model of Linear Viscoelastic Materials
using System Identification Method

อัญญาฤท รอดพ่าย และจิระพล ศรีเสริญผล
สาขาวิชาวิศวกรรมเครื่องกล สำนักวิศวกรรมศาสตร์ มหาวิทยาลัยเทคโนโลยีสุรนารี
อ. เมือง จ.นครราชสีมา 30000
โทร (044)224412 โทรสาร (044) 224413, E-mail: jiraphon@sut.ac.th

บทคัดย่อ: การศึกษาและวิเคราะห์เกี่ยวกับแบบจำลองคณิตศาสตร์ของวัสดุยืดหยุ่นหนืดเชิงเส้น เป็นการตรวจสอบความสัมพันธ์ระหว่างอินพุต (ความเค้น หรือ ความเครียด) ที่กระทำต่อวัสดุยืดหยุ่นหนืดเชิงเส้น กับ เอาพุท (ความเครียด หรือ ความเค้น) ที่เกิดขึ้นจากการตอบสนองของวัสดุ ซึ่ง โดยทั่วไปแบบจำลองที่ใช้กับวัสดุที่มีคุณสมบัติยืดหยุ่นหนืดเชิงเส้น ได้แก่ แบบจำลองของแมกซ์เวลล์ (Maxwell model) แบบจำลองเคลวิน-ไวค (Kelvin-Voigt model) และแบบจำลองเชิงเส้นพื้นฐาน(Standard Linear model) ซึ่งไม่สามารถอธิบายคุณสมบัติของวัสดุยืดหยุ่นหนืดเชิงเส้นได้ถูกต้อง อาทิเช่น แบบจำลองแมกซ์เวลล์จะไม่มีคุณสมบัติของการคืนรูป(Recovery) แบบจำลองเคลวิน-ไวคจะไม่มีคุณสมบัติการพักความเค้น (Stress Relaxation) และแบบจำลองเชิงเส้นพื้นฐานจะใช้อธิบายได้ดีสำหรับของแข็งที่สามารถคืนตัวได้ 100 % เท่านั้น ในงานวิจัยนี้ได้ศึกษาวิธีการหาแบบจำลองทางคณิตศาสตร์ของวัสดุยืดหยุ่นหนืดเชิงเส้นที่แสดงอยู่ในรูปของฟังก์ชันถ่ายโอน(Transfer function) ที่สามารถอธิบายคุณสมบัติของวัสดุยืดหยุ่นหนืดเชิงเส้นได้ถูกต้อง ซึ่งลักษณะดังกล่าวสามารถใช้หลักการทฤษฎีการควบคุมในการหาแบบจำลองทางคณิตศาสตร์ของวัสดุยืดหยุ่นหนืดเชิงเส้นโดยวิธีระบุเอกลักษณ์ โดยใช้ข้อมูลที่ได้จากการวัดคือ พลังงานสะสม(Storage modulus) $G'(\omega)$ พลังงานที่สูญเสีย(Loss modulus) $G''(\omega)$ และความถี่ (ω) ที่กระทำต่อวัสดุ ไปประเมินค่าสัมประสิทธิ์ของฟังก์ชันถ่ายโอนโดยใช้วิธีกำลังสองน้อยสุด และ วิธีกำลังสองน้อยสุดแบบถ่วงน้ำหนัก ด้วยความถี่และค่าความแปรปรวนของชุดข้อมูล

คำสำคัญ: กลศาสตร์ของวัสดุ, ทฤษฎีการควบคุม, วิธีระบุเอกลักษณ์ของระบบ

Abstract : The study and analysis of mathematical models of linear viscoelastic materials aims to investigate the relationship between input (stress or strain) on such materials and output (strain or stress) that occurs from the response of such materials. Generally, the mathematical models used for linear viscoelastic materials are the Maxwell model, the Kevin-Voigt model and the standard linear model. These models cannot accurately describe the properties of linear viscoelastic materials. For instance, the Maxwell model does not show the recovery behavior of materials, the Kevin-Voigt model does not demonstrate the stress relaxation and the standard linear model can be applied well only for solid materials that can be recovered 100 %. This paper is aimed to identify the mathematical model of linear viscoelastic materials. The model can be expressed in terms of transfer function that can accurately describe the properties of linear viscoelastic materials. The control theory can be used to find out the mathematical model of linear viscoelastic materials using the system identification method for which the storage modulus $G'(\omega)$, loss modulus $G''(\omega)$ and input frequency (ω) obtained from the measurement are used. To determine the transfer function coefficients, the least square method, the weighting least square method with input frequency and the weighting least square method with variance are used.

Keywords: Mechanics of Materials, Control Theory, System Identification

1. บทนำ

ปัญหาที่พบในการสร้างแบบจำลองทางคณิตศาสตร์ของวัสดุยืดหยุ่นหนืดเชิงเส้นคือแบบจำลองที่ได้ไม่สามารถอธิบายพฤติกรรมของวัสดุได้ถูกต้อง งานวิจัยนี้ได้นำเสนอวิธีการใช้ระเบียบวิธีเชิงตัวเลขเพื่อสังเคราะห์หาฟังก์ชันการถ่ายโอนของวัสดุ โดยอาศัยคุณสมบัติความยืดหยุ่นหนืดเชิงเส้นของวัสดุเป็นการระบุเอกลักษณ์ของวัสดุยืดหยุ่นหนืดเชิงเส้นวิธีหนึ่งโดยใช้หลักการทางทฤษฎีควบคุมอธิบายความสัมพันธ์ระหว่างอินพุตและเอาต์พุตที่กระทำต่อวัสดุยืดหยุ่นหนืดเชิงเส้น ดังนั้นฟังก์ชันการถ่ายโอนของวัสดุยืดหยุ่นหนืดเชิงเส้นที่ได้จึงมีความถูกต้องในการวิเคราะห์ด้านสถิติศาสตร์ และพลวัตของวัสดุยืดหยุ่นหนืดเชิงเส้น

Levy [1] ได้นำเสนอเทคนิคในการสังเคราะห์หาฟังก์ชันการถ่ายโอนโดยใช้ข้อมูลการตอบสนองเชิงความถี่ Katkov *et al* [2] ได้สังเคราะห์ฟังก์ชันถ่ายโอนโดยใช้ข้อมูลค่าจริงและค่าจินตภาพของการตอบสนองเชิงความถี่ Whitfield [3] ได้นำเสนอวิธีระบุเอกลักษณ์ และเทคนิคเช่นเดียวกับ Levy โดยเพิ่มวิธีการถ่วงน้ำหนักซึ่งได้ผลที่ดีในช่วงความถี่ต่ำ Choe [4] ได้ทำการศึกษาวีธีสังเคราะห์หาฟังก์ชันถ่ายโอนของระบบอย่างง่าย จากข้อมูลขนาด และเฟส วิธีการกำลังสองน้อยสุด(Least square method) โดยพิจารณาระบบที่อยู่ในช่วงความถี่ต่ำ และการถ่วงน้ำหนักด้วย $1/\omega$ Kim *et al* [5] ได้นำเสนอวิธีกำลังสองน้อยสุด, Recursive Least Squares (RLS) และ Total Least-Square (TLS) ในการระบุเอกลักษณ์ของฟังก์ชันถ่ายโอนบนโดเมนความถี่ Luc Peirlinckx *et al* [6] ได้ศึกษาวีธีหาเอกลักษณ์ของสมการคอนสติติวทีฟ(Constitutive equations) สำหรับวัสดุเชิงประกอบ (Composite materials) ที่มีคุณสมบัติยืดหยุ่นหนืดเชิงเส้น Ping Yu *et al* [8] ได้ศึกษาวีธีการหาเอกลักษณ์ของระบบพลวัตของการตอบสนองทางรีโอโลยีของวัสดุยืดหยุ่นหนืด ซึ่งวิธีการนี้ถูกพัฒนาเพื่อหาค่าฟังก์ชันการพักความเค้น และการคืบของวัสดุ โดยพิจารณาในโดเมนของความถี่ ซึ่งเป็นการสมมติแบบจำลองในรูปแบบของฟังก์ชันถ่ายโอนด้วยวิธีการวิเคราะห์ระบบแบบไม่ต่อเนื่องทางเวลา(Discrete-time system) Kwang Soo Cho *et al* [9] ได้ทำการศึกษารูปแบบจำลองที่ได้จากการสังเกตสำหรับวัสดุยืดหยุ่นหนืดเชิงเส้น ของโพลีเมอร์แบบไม่กระจายตัว ซึ่งเป็นแบบจำลองที่ทำนายปรากฏการณ์โดยการพิจารณาเฉพาะผลกระทบของน้ำหนักโมเลกุลของโพลีเมอร์และวัสดุยืดหยุ่นหนืดเชิงเส้นเท่านั้น ผลที่ได้คือแบบจำลองสามารถทำนายค่าพลังงานสะสม($G'(\omega)$) และพลังงานที่สูญเสีย($G''(\omega)$)ได้ งานวิจัยที่ได้กล่าวมานั้นเป็นเพียงส่วนหนึ่งเท่านั้นที่ทำการศึกษารูปแบบจำลอง เพื่อวิเคราะห์พฤติกรรมต่าง ๆ ที่เกิดขึ้นกับวัสดุโพลีเมอร์ ซึ่งมีตัวแปรสำคัญที่สามารถวัดได้เช่น ความถี่ในการตอบสนอง ค่าพลังงานสะสม ค่าพลังงานสูญเสียของวัสดุยืดหยุ่นหนืด เป็นต้น

วัตถุประสงค์ในการวิจัยนี้ คือการนำข้อมูลที่วัดได้ พลังงานสะสม $G'(\omega)$ พลังงานที่สูญเสีย $G''(\omega)$ และความถี่ (ω) ของวัสดุ

ยืดหยุ่นหนืดเชิงเส้น มาสังเคราะห์หาฟังก์ชันการถ่ายโอน ของวัสดุโดยใช้ระเบียบวิธีเชิงตัวเลข ซึ่งการศึกษาเกี่ยวกับความยืดหยุ่นหนืดจะศึกษาความสัมพันธ์ระหว่างความเค้น และความเครียดที่ไม่เป็นสัดส่วนคงที่แต่จะขึ้นอยู่กับเวลาในการตอบสนองของวัสดุ โดยวิธีระเบียบเชิงตัวเลข และ ทฤษฎีควบคุม นี้มาใช้ร่วมกับวิธีกำลังสองน้อยสุด, วิธีกำลังสองน้อยสุดแบบถ่วงน้ำหนัก (Weighting least squares method) ในการสร้างสมการเชิงเส้นโดยมีค่าสัมประสิทธิ์ของฟังก์ชันถ่ายโอนเป็นตัวแปรต้น และค่าที่ได้จากการทดลองในที่นี้คือ ค่าพลังงานสะสม ค่าพลังงานที่สูญเสีย และความถี่ เป็นตัวแปรตาม โดยใช้วิธีการ pseudo inverse ในการแก้ปัญหาสมการเชิงเส้นเพื่อหาค่าสัมประสิทธิ์ของฟังก์ชันถ่ายโอน ใช้วิธีหาค่ารากของสมการคุณลักษณะ(Characteristic equation) เพื่อหาค่าแห่งของโพลีมาพิจารณาความเสถียรของวัสดุ และหาค่าความผิดพลาดจากนอร์มรากกำลังสอง(root-square norm: L_2 -norm) ในการพิจารณาเปรียบเทียบความถูกต้องของฟังก์ชันถ่ายโอนที่ได้ โดยขั้นตอนในการคำนวณโดยโปรแกรมสังเคราะห์หาฟังก์ชันถ่ายโอนนั้น แบ่งเป็น 2 ส่วน คือ ส่วนที่หนึ่งเป็นการทดสอบโปรแกรมโดยชุดข้อมูลที่มีค่าความแปรปรวน แล้วใช้โปรแกรมสังเคราะห์หาฟังก์ชันถ่ายโอน ทั้งแบบไม่ถ่วงน้ำหนัก และถ่วงน้ำหนักด้วยค่า $1/\omega$, $1/\omega^2$, σ^2 และ $1/\sigma^2$ เพื่อหาค่าสัมประสิทธิ์ฟังก์ชันถ่ายโอน และส่วนที่สองเป็นการใช้โปรแกรมสังเคราะห์หาฟังก์ชันถ่ายโอนกับชุดข้อมูลที่

2. ลักษณะทางคณิตศาสตร์

ในการศึกษาคุณสมบัติเชิงพลวัตของวัสดุยืดหยุ่นหนืดเชิงเส้น สามารถวัดค่าพลังงานสะสม ค่าพลังงานที่สูญเสีย และค่า $\tan \delta$ ซึ่ง เป็นวิธีการที่ใช้ในการทดสอบเชิงพลวัตของวัสดุยืดหยุ่นหนืดสามารถจำแนกได้เป็น 3 แบบคือการสั่นแบบอิสระแบบมีความหน่วง การสั่นแบบอิสระแบบมีการสั่นพ้อง และการสั่นเนื่องจากแรงแบบไม่มีการสั่นพ้อง วิธีการเหล่านี้เป็นไปตามมาตรฐาน ISO6721 เพื่อใช้ในการทดสอบหาค่าคุณสมบัติเชิงกลของวัสดุ ซึ่งลักษณะคุณสมบัติของการตอบสนองเชิงพลวัตโดยวิธีการสั่นแบบเฉื่อย โดยให้ความเครียดกระทำกับวัสดุยืดหยุ่นหนืดมีค่าเท่ากับ $\gamma = \gamma_0 \sin \omega t$ โดยค่า γ_0 คือค่าขนาดของความเครียด และ ω คือความถี่ที่ใช้กระตุ้นระบบ เราพบว่าความเค้นเฉื่อยที่ได้มีมุมเฟสที่แตกต่างจากค่าความเครียดเท่ากับค่า ๆ หนึ่ง โดยมุมเฟสมีค่าต่างกัน ดังนั้นสมการการตอบสนองของความเค้นได้ดังสมการ

$$\tau(t) = \tau_0 \sin(\omega t + \delta) = \gamma_0 |G^*(j\omega)| \sin(\omega t + \delta) \quad (1)$$

โดย $\delta = \arctan \frac{G''}{G'}$ คือ มุมเฟสต่าง

$G^*(j\omega) = G'(\omega) + jG''(\omega)$ คือค่ามอดูลัสเชิงซ้อน (Complex modulus)

$$|G^*(j\omega)| = \sqrt{(G'(\omega))^2 + (G''(\omega))^2} \quad (2)$$

$$G'(\omega) = \frac{\tau_0}{\gamma_0} \cos \delta \quad \text{และ} \quad G''(\omega) = \frac{\tau_0}{\gamma_0} \sin \delta$$

$G'(\omega)$ คือพลังงานสะสม และ $G''(\omega)$ คือพลังงานที่สูญเสียเป็นความร้อนในระหว่างการเปลี่ยนรูป ในการวิเคราะห์ระบบ เมื่อให้อินพุทกับระบบแล้ว สังเกตพฤติกรรมการตอบสนองของเอาพุทที่เกิดขึ้น และจากสมการ(1) สามารถเขียนในรูปของสมการเชิงอนุพันธ์ได้ ดังนี้

$$\tau(j\omega) = \frac{\sum_{k=0}^n b_k (j\omega)^k}{\sum_{v=0}^m a_v (j\omega)^v} \gamma(j\omega) = G^*(j\omega)\gamma(j\omega) \quad (3)$$

โดย $n \leq m$

ในการทดลองจะได้ค่า $G'(\omega)$ และ $G''(\omega)$ จากการเปลี่ยนแปลงความถี่ (ω_i) ในการเค้นเฉือนที่มีต่อวัสดุ ดังนั้นสมการ (3) สามารถเขียนอยู่ในรูปของมอดุลัสเชิงซ้อนได้

$$G^*(j\omega_i) = G'(\omega_i) + jG''(\omega_i) = \frac{B(j\omega_i)}{A(j\omega_i)} \quad (4)$$

$$= \frac{b_n (j\omega_i)^n + b_{n-1} (j\omega_i)^{n-1} + \dots + b_1 (j\omega_i) + b_0}{a_m (j\omega_i)^m + a_{m-1} (j\omega_i)^{m-1} + \dots + a_1 (j\omega_i) + 1}$$

โดยที่ $a_0 = 1$

จากสมการ (4) เขียนใหม่ได้

$$B(j\omega_i) = A(j\omega_i)\{G'(\omega_i) + jG''(\omega_i)\} \quad (5)$$

สมการ (5) สามารถจัดรูปให้อยู่ในค่า $G'(\omega_i)$ และ $G''(\omega_i)$ ได้

$$\sum_{h=0}^p b_{2h} (-1)\omega_i^{2h} - G'(\omega_i) \sum_{u=0}^r a_{2u} (-1)^u \omega_i^{2u} + G''(\omega_i) \sum_{v=0}^s a_{2v+1} (-1)^v \omega_i^{2v+1} = G'(\omega_i)$$

$$\sum_{l=0}^p b_{2l} (-1)\omega_i^{2l} - G''(\omega_i) \sum_{u=0}^r a_{2u} (-1)^u \omega_i^{2u} - G'(\omega_i) \sum_{v=0}^s a_{2v+1} (-1)^v \omega_i^{2v+1} = G''(\omega_i)$$

โดยกำหนดให้

$$p = \lfloor n/2 \rfloor, q = \lfloor (n-1)/2 \rfloor, r = \lfloor m/2 \rfloor, s = \lfloor (m-1)/2 \rfloor$$

เราสามารถนำสมการข้างต้น มาเขียนอยู่ในรูปแบบของเมตริกซ์

$$\begin{bmatrix} \Omega_1 & 0 & \Omega_2 & \Omega_3 \\ 0 & \Omega_4 & \Omega_5 & \Omega_6 \end{bmatrix} \{b_{even} \quad b_{odd} \quad a_{even} \quad a_{odd}\}^T = \begin{Bmatrix} G' \\ G'' \end{Bmatrix} \quad (6)$$

โดย $b_{even} = b_2, b_4, \dots, b_{2p}, b_{odd} = b_1, b_3, \dots, b_{2q+1},$

$a_{even} = a_0, a_2, \dots, a_r$ และ $a_{odd} = a_1, a_3, \dots, a_{2s+1}$

$$\Omega_1 = \begin{bmatrix} 1 & -\omega_1^2 & \omega_1^4 & \dots & (-1)^p \omega_1^{2p} \\ 1 & -\omega_2^2 & \omega_2^4 & \dots & (-1)^p \omega_2^{2p} \\ \vdots & \vdots & \vdots & \ddots & \vdots \\ 1 & -\omega_N^2 & \omega_N^4 & \dots & (-1)^p \omega_N^{2p} \end{bmatrix}$$

$$\Omega_2 = \begin{bmatrix} \omega_1^2 G'_1 & -\omega_1^4 G'_1 & \omega_1^6 G'_1 & \dots & (-1)^{r+1} \omega_1^{2r} G'_1 \\ \omega_2^2 G'_2 & -\omega_2^4 G'_2 & \omega_2^6 G'_2 & \dots & (-1)^{r+1} \omega_2^{2r} G'_2 \\ \vdots & \vdots & \vdots & \ddots & \vdots \\ \omega_N^2 G'_N & -\omega_N^4 G'_N & \omega_N^6 G'_N & \dots & (-1)^{r+1} \omega_N^{2r} G'_N \end{bmatrix}$$

$$\Omega_3 = \begin{bmatrix} \omega_1 G''_1 & -\omega_1^3 G''_1 & \omega_1^5 G''_1 & \dots & (-1)^s \omega_1^{2s+1} G''_1 \\ \omega_2 G''_2 & -\omega_2^3 G''_2 & \omega_2^5 G''_2 & \dots & (-1)^s \omega_2^{2s+1} G''_2 \\ \vdots & \vdots & \vdots & \ddots & \vdots \\ \omega_N G''_N & -\omega_N^3 G''_N & \omega_N^5 G''_N & \dots & (-1)^s \omega_N^{2s+1} G''_N \end{bmatrix}$$

$$\Omega_4 = \begin{bmatrix} \omega_1 & -\omega_1^3 & \omega_1^5 & \dots & (-1)^q \omega_1^{2q+1} \\ \omega_2 & -\omega_2^3 & \omega_2^5 & \dots & (-1)^q \omega_2^{2q+1} \\ \vdots & \vdots & \vdots & \ddots & \vdots \\ \omega_N & -\omega_N^3 & \omega_N^5 & \dots & (-1)^q \omega_N^{2q+1} \end{bmatrix}$$

$$\Omega_5 = \begin{bmatrix} \omega_1^2 G''_1 & -\omega_1^4 G''_1 & \omega_1^6 G''_1 & \dots & (-1)^{r+1} \omega_1^{2r} G''_1 \\ \omega_2^2 G''_2 & -\omega_2^4 G''_2 & \omega_2^6 G''_2 & \dots & (-1)^{r+1} \omega_2^{2r} G''_2 \\ \vdots & \vdots & \vdots & \ddots & \vdots \\ \omega_N^2 G''_N & -\omega_N^4 G''_N & \omega_N^6 G''_N & \dots & (-1)^{r+1} \omega_N^{2r} G''_N \end{bmatrix}$$

$$\Omega_6 = \begin{bmatrix} \omega_1 G'_1 & -\omega_1^3 G'_1 & \omega_1^5 G'_1 & \dots & (-1)^s \omega_1^{2s+1} G'_1 \\ \omega_2 G'_2 & -\omega_2^3 G'_2 & \omega_2^5 G'_2 & \dots & (-1)^s \omega_2^{2s+1} G'_2 \\ \vdots & \vdots & \vdots & \ddots & \vdots \\ \omega_N G'_N & -\omega_N^3 G'_N & \omega_N^5 G'_N & \dots & (-1)^s \omega_N^{2s+1} G'_N \end{bmatrix}$$

โดย N คือจำนวนชุดข้อมูล

3. วิธีระเบียบเชิงตัวเลข

ในการสังเคราะห์หาฟังก์ชันถ่ายโอน โดยวิธีกำลังสองน้อยสุดจากสมการ (6) เขียนได้ใหม่ ดังนี้

$$\Omega X = G \quad (7)$$

โดยที่ Ω คือเมตริกซ์สัมประสิทธิ์, X คือเวกเตอร์สัมประสิทธิ์ และ G คือเวกเตอร์ที่ได้จากการวัด

ในการประยุกต์ใช้วิธีกำลังสองน้อยสุดแบบถ่วงน้ำหนัก และเขียนสมการ (7) ใหม่ ได้ดังนี้

$$w\Omega X = wG \quad (8)$$

$$\text{โดย} \quad w = \begin{bmatrix} w_1 & 0 & 0 & 0 & 0 & 0 & 0 & 0 \\ 0 & w_2 & 0 & 0 & 0 & 0 & 0 & 0 \\ 0 & 0 & \ddots & 0 & 0 & 0 & 0 & 0 \\ 0 & 0 & 0 & w_N & 0 & 0 & 0 & 0 \\ 0 & 0 & 0 & 0 & w_1 & 0 & 0 & 0 \\ 0 & 0 & 0 & 0 & 0 & w_2 & 0 & 0 \\ 0 & 0 & 0 & 0 & 0 & 0 & \ddots & 0 \\ 0 & 0 & 0 & 0 & 0 & 0 & 0 & w_N \end{bmatrix}_{k \times k} \quad (9)$$

โดยค่า w คือเมตริกซ์ถ่วงน้ำหนัก ที่เป็น เมตริกซ์ทแยงมุม และ $k=2$ เท่าของจำนวนชุดข้อมูล ($2 \times N$) ซึ่งในงานวิจัยนี้ได้ ใช้ค่าในการถ่วงน้ำหนัก 4 แบบคือ

แบบที่ 1 กำหนดให้ $w_k = \frac{1}{\omega_k}$ (10)

แบบที่ 2 กำหนดให้ $w_k = \frac{1}{\omega_k^2}$ (11)

โดย $\omega_k = [\omega_1 \ \omega_2 \ \dots \ \omega_N \ \omega_1 \ \omega_2 \ \dots \ \omega_N]_{1 \times k}$

สำหรับการถ่วงน้ำหนักแบบที่ 3 และ แบบที่ 4 จะใช้ค่าความแปรปรวน(Variance(σ^2)) ของชุดข้อมูล ซึ่งเป็นค่าการกระจายตัวของชุดข้อมูลนั้นๆ นั่นคือ

แบบที่ 3 กำหนดให้ $w_k = \sigma_k^2$ (12)

แบบที่ 4 กำหนดให้ $w_k = \frac{1}{\sigma_k^2}$ (13)

โดย

$$\sigma_k^2 = [\sigma_{1,G}^2 \ \sigma_{2,G}^2 \ \dots \ \sigma_{N,G}^2 \ \sigma_{1,G}^2 \ \sigma_{2,G}^2 \ \dots \ \sigma_{N,G}^2]_{1 \times k}$$

โดยทั่วไป การหาเมตริกซ์ผกผัน Ω^{-1} ของเมตริกใด ๆ นั้น เมตริกซ์ Ω นั้น ต้องเป็นเมตริกซ์จัตุรัส และต้องมีลักษณะเป็น full rank คือที่ทุกคอลัมน์ หรือแถวภายในเมตริก Ω ต้องมีความเป็นอิสระต่อกัน (Linearly independent) แต่ในการหาเมตริกซ์ผกผันที่ยกมานั้น เป็นวิธีการทั่วไปที่ใช้ในการหาเมตริกซ์ผกผัน ซึ่งใช้ในการหาเมตริกซ์ Ω ที่เป็นเมตริกจัตุรัส หรือเมตริกที่มีจำนวนแถวมากกว่าจำนวนคอลัมน์ แต่มีเงื่อนไขว่าเมตริกซ์นั้นต้องเป็นเมตริกที่มีลักษณะเป็น full rank เพื่อให้ผลเฉลยที่ได้ unique นั่นเอง ข้อดีอีกประการของวิธีการนี้ก็ คือ เป็นวิธีการที่สามารถหาเมตริกซ์ผกผันได้ ไม่ว่าเมตริก Ω จะเป็น singular matrix หรือ non-singular matrix คือ เมตริกซ์ที่ค่า $\det(\Omega) = 0$ หรือ $\det(\Omega) \neq 0$ ตามลำดับ ซึ่งจะได้

$$X = (\Omega^T \Omega)^{-1} \Omega^T G \quad (14)$$

สำหรับเมตริกซ์ที่มีการถ่วงน้ำหนักด้วยเมตริกซ์ w

$$X = (\Omega^T w w^T \Omega)^{-1} \Omega^T w^T w G \quad (15)$$

ขั้นตอนต่อมาคือการวิเคราะห์หาความเสถียรของฟังก์ชันถ่ายโอนที่ได้ โดยพิจารณาค่าแ่งโพลของระบบ โดยหาค่ารากสมการเฉพาะของระบบ ดังนั้นฟังก์ชันถ่ายโอนที่ได้จะต้องมีความเสถียรเพราะพิจารณาวัสดุยืดหยุ่นที่มีความเสถียร วิธีการหาผลเฉลยที่ให้ค่าที่มีความถูกต้องนั้น ในงานวิจัยนี้จะพิจารณาค่าผลเฉลยกับฟังก์ชันถ่ายโอนที่ได้ หาค่าความผิดพลาด (ε) มาร่วมพิจารณาในการหาค่าสัมประสิทธิ์ของฟังก์ชันถ่ายโอนที่ดีที่สุด

$$\varepsilon_i = \sum_{i=1}^N \left| G^*(j\omega_i) - \frac{B(j\omega_i)}{A(j\omega_i)} \right|^2 \quad (16)$$

โดย ε คือค่าความผิดพลาด

แต่ค่าความผิดพลาดนั้นสามารถกำหนดได้หลายรูปแบบ เนื่องจากค่าความผิดพลาดของระบบสมการอยู่ในรูปเวกเตอร์ $\varepsilon = [\varepsilon_i]$ ดังนั้นการหาขนาดของค่าความผิดพลาดเพื่อใช้การพิจารณาคือค่าความผิดพลาดของระบบสมการนอร์มการกำลังสอง

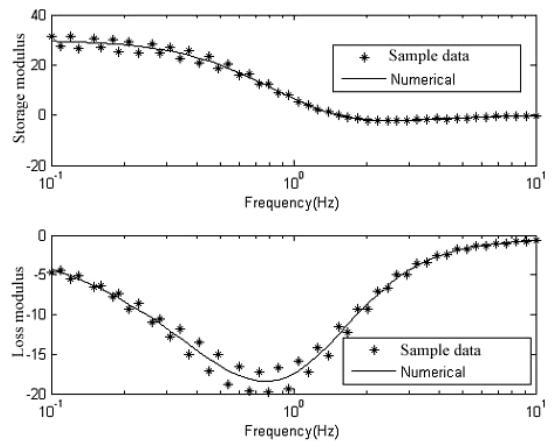
$$\|\varepsilon\|_2 = \sqrt{\varepsilon_1^2 + \varepsilon_2^2 + \dots + \varepsilon_N^2} \quad (17)$$

4. ผลการทดสอบและจำลองสถานการณ์

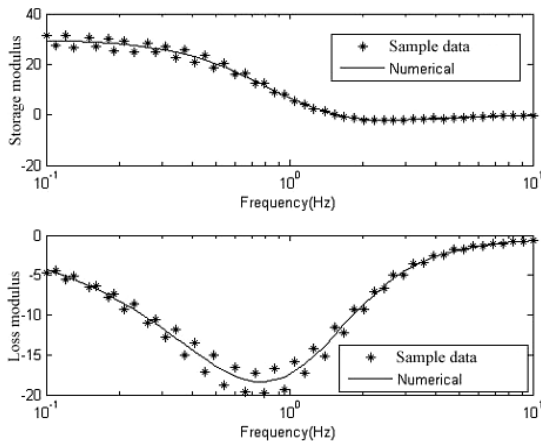
กรณี 1. ในการประเมินและวิเคราะห์โปรแกรมที่ได้จากวิธีกำลังสองน้อยสุดแบบถ่วงน้ำหนักนั้น ต้องมีการทดสอบความถูกต้อง ความแม่นยำ และความเสถียรของโปรแกรมต่างๆ ก่อน สำหรับหัวข้อนี้เป็นการนำเสนอผลการทดสอบโปรแกรมสังเคราะห์หาฟังก์ชันถ่ายโอนบางส่วน โดยการนำโปรแกรมไปประยุกต์เข้ากับปัญหาที่ทราบฟังก์ชันถ่ายโอน จากนั้นนำผลที่ได้จากโปรแกรม เปรียบเทียบกับผลเฉลยแม่นยำตรงของปัญหานั้นๆ ซึ่งได้มีการทดสอบฟังก์ชันถ่ายโอนตั้งแต่ $n=1$ ถึง 5 และ $m=1$ ถึง 5 โดยชุดข้อมูลมีจำนวนค่าที่วัด 50 ความถี่ ในช่วงความถี่ 10^{-1} ถึง 10^1 Hz และมีความแปรปรวนของชุดข้อมูล $\pm 10\%$ ผลตัวอย่างการทดสอบโปรแกรม โดยพิจารณาจากฟังก์ชันถ่ายโอนดังนี้

$$G^*(j\omega) = \frac{b_2(j\omega)^2 + b_1(j\omega) + b_0}{a_3(j\omega)^3 + a_2(j\omega)^2 + a_1(j\omega) + 1} \quad (18)$$

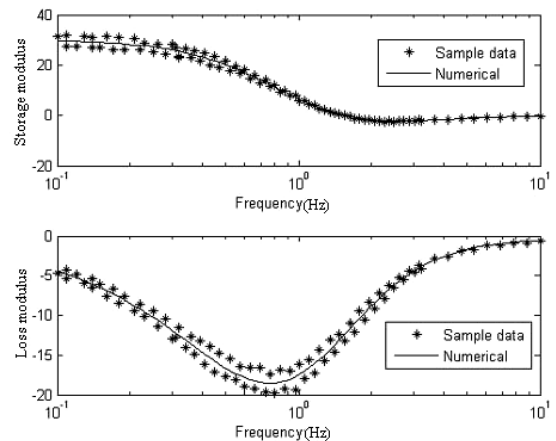
โดย $b_2 = 1, b_1 = 11, b_0 = 30, a_3 = 0.1667, a_2 = 1, a_1 = 1.833$



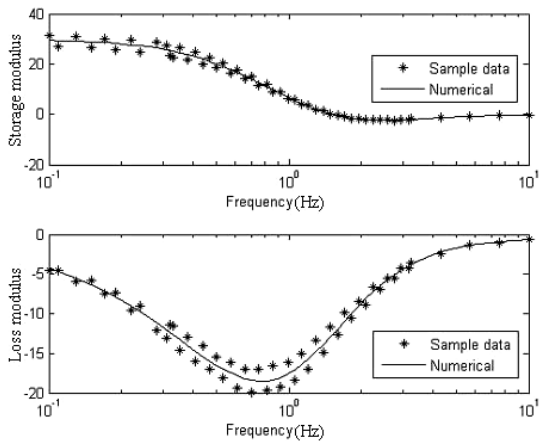
รูปที่ 1. แสดงค่า $G^*(\omega_i)$ และ $G''(\omega_i)$ กับความถี่ ของฟังก์ชันถ่ายโอนที่สังเคราะห์ได้โดยวิธีกำลังสองน้อยสุดแบบถ่วงน้ำหนัก $1/\omega$



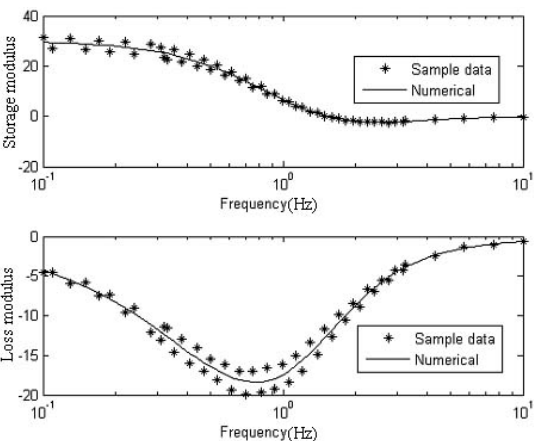
รูปที่ 2. แสดงค่า $G'(\omega_i)$ และ $G''(\omega_i)$ กับความถี่ ของฟังก์ชันถ่ายโอนที่สังเคราะห์ได้โดยวิธีกำลังสองน้อยสุดแบบถ่วงน้ำหนัก ($1/\sigma^2$)



รูปที่ 5. ฟังก์ชันถ่ายโอนที่สังเคราะห์ได้โดยวิธีกำลังสองน้อยสุดแบบถ่วงน้ำหนัก $1/\omega$ กับชุดข้อมูลมีจำนวนค่าที่วัด 100 ความถี่



รูปที่ 3. ฟังก์ชันถ่ายโอนที่สังเคราะห์ได้โดยวิธีกำลังสองน้อยสุดแบบถ่วงน้ำหนัก $1/\omega$ กับชุดข้อมูลที่มีการกระจายตัว



รูปที่ 4. ฟังก์ชันถ่ายโอนที่สังเคราะห์ได้โดยวิธีกำลังสองน้อยสุดแบบถ่วงน้ำหนัก ($1/\sigma^2$) กับชุดข้อมูลที่มีการกระจายตัว

จากรูปที่ 1 และ 2 แสดงผลของการประเมินสำหรับฟังก์ชันถ่ายโอนที่ทดสอบ (18) ซึ่งผลเฉลยของฟังก์ชันถ่ายโอนที่ไม่มีความเสถียรจะไม่นำมาพิจารณา และค่าความผิดพลาดน้อยที่สุดที่ได้คือวิธีกำลังสองน้อยสุดแบบถ่วงน้ำหนักด้วย $1/\omega$, $\|e\|_2 = 10.64$ และฟังก์ชันถ่ายโอนที่ได้จากผลของวิธีระบุเอกลักษณ์ของระบบคือ

$$G^*(j\omega) = \frac{0.1334(j\omega)^2 + 3.662(j\omega) + 29.94}{1.537 \times 10^{-2}(j\omega)^3 + 0.6207(j\omega)^2 + 1.579(j\omega) + 1}$$

ส่วนค่าความผิดพลาดที่เกิดขึ้นโดยวิธีกำลังสองน้อยสุดแบบถ่วงน้ำหนักด้วย $1/\sigma^2$ และ $1/\omega^2$ คือ $\|e\|_2 = 10.646$ และ $\|e\|_2 = 10.75$

ส่วนรูปที่ 3 และ 4 แสดงผลของการประเมินสำหรับฟังก์ชันถ่ายโอนกับชุดข้อมูลที่มีการกระจายตัว ซึ่งวิธีกำลังสองน้อยสุดแบบถ่วงน้ำหนักด้วย $1/\omega$, $\|e\|_2 = 11.696$ และฟังก์ชันถ่ายโอนที่ได้ คือ

$$G^*(j\omega) = \frac{7.067 \times 10^{-2}(j\omega)^2 + 2.922(j\omega) + 29.94}{0.5879(j\omega)^2 + 1.549(j\omega) + 1}$$

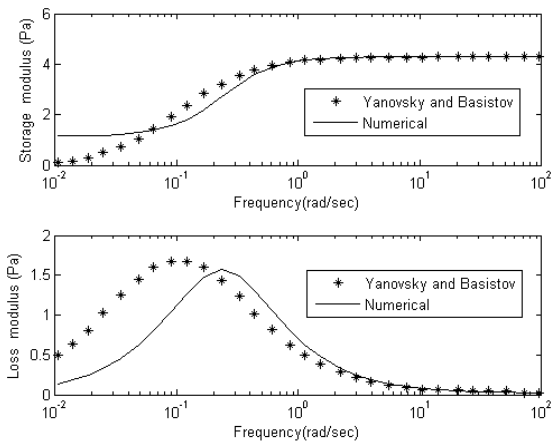
และค่าความผิดพลาดโดยวิธีกำลังสองน้อยสุดแบบถ่วงน้ำหนักด้วย $1/\sigma^2$ และ $1/\omega^2$ คือ $\|e\|_2 = 11.678$ และ $\|e\|_2 = 11.392$ และรูปที่ 5 แสดงผลการสังเคราะห์ฟังก์ชันถ่ายโอนเมื่อชุดข้อมูลจำนวนการวัดเพิ่มขึ้นเป็น 100 ความถี่ในช่วงความถี่เดิม จากวิธีกำลังสองน้อยสุดแบบถ่วงน้ำหนักด้วย $1/\omega$, $\|e\|_2 = 14.265$ และฟังก์ชันถ่ายโอนที่ได้

$$G^*(j\omega) = \frac{0.1619(j\omega)^2 + 3.606(j\omega) + 30.23}{1.532 \times 10^{-2}(j\omega)^3 + 0.6139(j\omega)^2 + 1.582(j\omega) + 1}$$

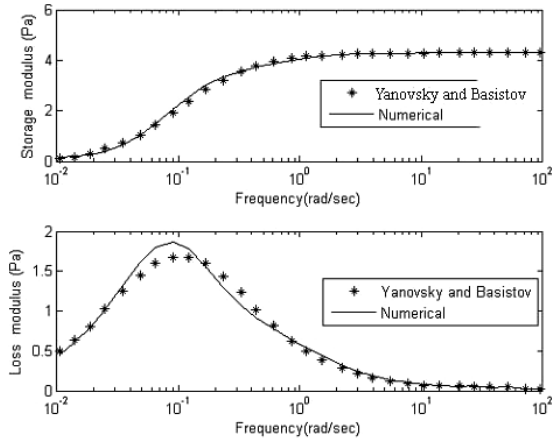
และค่าความผิดพลาดในกรณีนี้โดยวิธีกำลังสองน้อยสุดแบบถ่วงน้ำหนักด้วย $1/\sigma^2$ และ $1/\omega^2$ คือ $\|e\|_2 = 14.268$ และ $\|e\|_2 = 14.414$ ผลของค่าความผิดพลาดที่เพิ่มขึ้นนั้น เพราะจำนวนข้อมูลที่เพิ่มขึ้นนั่นเอง

จากผลการทดสอบและจำลองสถานการณ์ในกรณีต่างๆที่พิจารณา นั้น โดยวิธีกำลังสองน้อยสุดแบบถ่วงน้ำหนักด้วย $1/\omega$, $1/\omega^2$ และ $1/\sigma^2$ ในการสังเคราะห์ฟังก์ชันถ่ายโอนของวัสดุยืดหยุ่นชนิดเชิงเส้นมีประสิทธิภาพดีพอเพียง

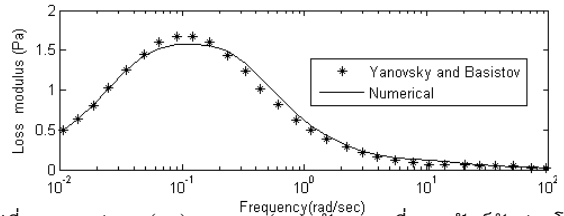
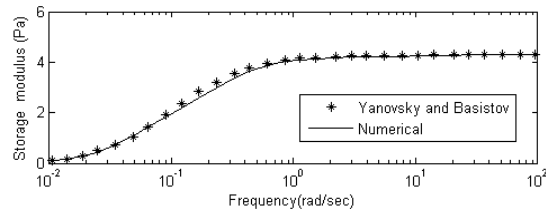
กรณี 2 การประยุกต์ใช้โปรแกรมกับปัญหายืดหยุ่นชนิดเชิงเส้น
 ตอนที่ 1. โปรแกรมที่ทำการเขียนขึ้นเพื่อสังเคราะห์หาฟังก์ชันถ่ายโอนเมื่อผ่านกระบวนการทดสอบกับปัญหามาตรฐาน พบว่า มีความแม่นยำและมีเสถียรภาพ จึงได้นำโปรแกรมดังกล่าวมาประยุกต์ใช้กับปัญหายืดหยุ่นชนิด โดยการนำผลการทดลองที่ได้ มาทำการใช้ร่วมกับโปรแกรมสังเคราะห์หาฟังก์ชันถ่ายโอน โดยใช้ชุดข้อมูลจากการทดลองที่มีจำนวนค่าที่วัด 30 ความถี่ ในช่วงความถี่ 0.01-100 rad/sec ของ polybutadiene polymer ที่มีน้ำหนักโมเลกุลเท่ากับ 8.3×10^{-4} kg (Yanovsky G. Yu., Basistov G. Yu. and Siginer A.Dennis. [7])



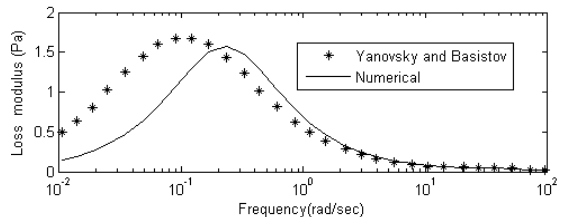
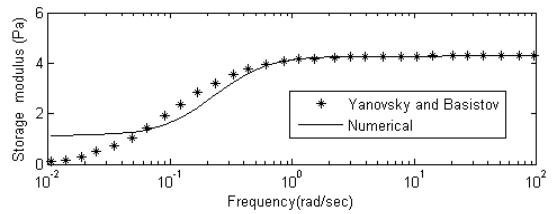
รูปที่ 6. แสดงค่า $G'(\omega_i)$ และ $G''(\omega_i)$ กับความถี่ ของฟังก์ชันถ่ายโอนที่สังเคราะห์ได้โดยวิธีกำลังสองน้อยสุด



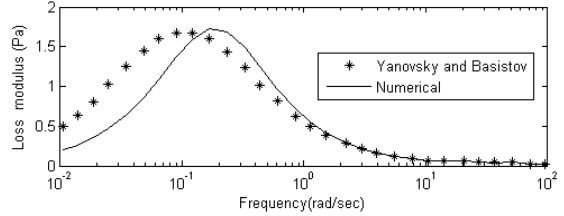
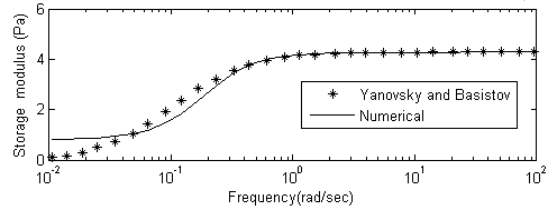
รูปที่ 7. แสดงค่า $G'(\omega_i)$ และ $G''(\omega_i)$ กับความถี่ ของฟังก์ชันถ่ายโอนที่สังเคราะห์ได้โดยวิธีกำลังสองน้อยสุดแบบถ่วงน้ำหนัก $(1/\omega)$



รูปที่ 8. แสดงค่า $G'(\omega_i)$ และ $G''(\omega_i)$ กับความถี่ ของฟังก์ชันถ่ายโอนที่สังเคราะห์ได้โดยวิธีกำลังสองน้อยสุดแบบถ่วงน้ำหนัก $(1/\omega^2)$



รูปที่ 9. แสดงค่า $G'(\omega_i)$ และ $G''(\omega_i)$ กับความถี่ ของฟังก์ชันถ่ายโอนที่สังเคราะห์ได้โดยวิธีกำลังสองน้อยสุดแบบถ่วงน้ำหนัก (σ^2)



รูปที่ 10. แสดงค่า $G'(\omega_i)$ และ $G''(\omega_i)$ กับความถี่ของฟังก์ชันถ่ายโอนที่สังเคราะห์ได้โดยวิธีกำลังสองน้อยสุดแบบถ่วงน้ำหนัก $(1/\sigma^2)$

จากรูปที่ 6 ถึง 10 แสดงผลของการสังเคราะห์ฟังก์ชันถ่ายโอน ซึ่งค่าความผิดพลาดน้อยที่สุดที่ได้คือวิธีกำลังสองน้อยสุดแบบถ่วงน้ำหนักด้วย $1/\omega^2$ และ $\|e\|_2 = 0.588$ และฟังก์ชันถ่ายโอนที่ได้

$$G^*(j\omega) = \frac{22.76(j\omega)^3 + 322.5(j\omega)^2 + 49.02(j\omega) + 0.01968}{5.277(j\omega)^3 + 77.47(j\omega)^2 + 23.25(j\omega) + 1}$$

ส่วนค่าความผิดพลาดน้อยที่เกิดขึ้นในลำดับถัดมา คือวิธีกำลังสองน้อยสุดแบบถ่วงน้ำหนักด้วย $1/\omega$ และ $1/\sigma^2$ คือ $\|e\|_2 = 0.5925$ และ $\|e\|_2 = 2.076$

ตอนที่ 2. การประยุกต์โปรแกรมใช้กับ Linear low density polyethylene โดยใช้ metallocene เป็นตัวเร่งปฏิกิริยา ซึ่งการทดลองนี้เป็นการศึกษาที่สถานะของเหลวในช่วงที่เกิดการหลอมละลาย โดยใช้ข้อมูลจากบทความวิจัยของ Esra Kucukpinar *et al* (1999) [10] ที่พิจารณาในช่วง 0.01 – 1000 rad/sec โดยใช้แบบจำลอง Wagner ซึ่งพบว่าแบบจำลองดังกล่าวสามารถหาค่าพลังงานสะสม ค่าพลังงานที่สูญเสียได้ถูกต้อง เป็นไปได้สมการที่ (19) และสมการที่ (20)

$$G'(\omega) = \sum_i \frac{G_{oi} \lambda_i^2 \omega^2}{1 + \lambda_i^2 \omega^2} \quad (19)$$

$$G''(\omega) = \sum_i \frac{G_{oi} \lambda_i \omega}{1 + \lambda_i^2 \omega^2} \quad (20)$$

โดย λ_i – relaxation time และ G_{oi} – relaxation strength ตารางที่ 1 แสดงค่า λ_i และ G_{oi} ของ Metallocene-catalyzed linear low density polyethylene resin ชนิด 350D60 ที่มีค่า M_w เท่ากับ 100,000 g/mol, Melt index เท่ากับ 1 g/10 min, Density เท่ากับ 0.917 g/cm³, Melting point เท่ากับ 119 °C

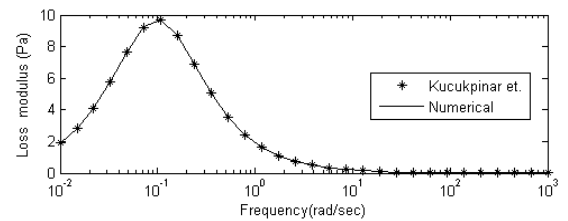
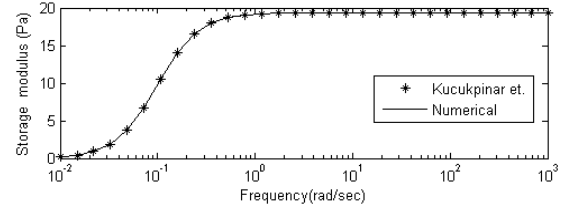
ตารางที่ 1 แสดงค่า λ_i และ G_{oi}

	Exceed 350D60
λ_i , sec	G_{oi} , Pa
10	1.94E+01
1	8.33E+02
0.1	3.93E+04
0.01	3.48E+05
0.001	3.70E+05
0.0001	1.00E+06

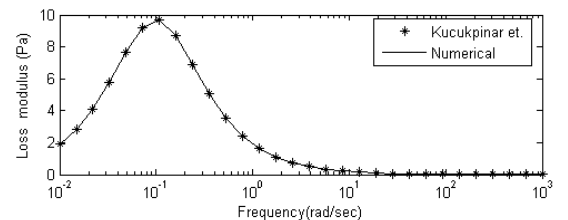
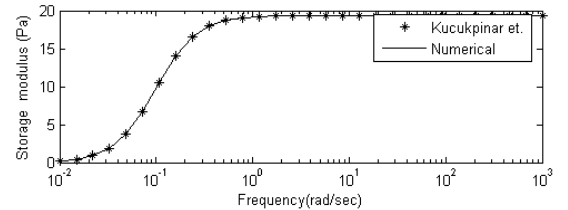
จากรูปที่ 11 ถึง 13 แสดงตัวอย่างผลการทดสอบโปรแกรมกับแบบจำลอง Wagner ของ Metallocene-catalyzed linear low density polyethylene resin ชนิด 350D60 ที่มีค่า $\lambda_i = 10$ sec และ $G_{oi} = 19.4$ Pa ในช่วงความถี่ 0.01-1000 rad/sec จำนวน 30 ความถี่ ซึ่งค่าความผิดพลาดน้อยที่สุดที่ได้คือวิธีกำลังสองน้อยสุดแบบถ่วงน้ำหนักด้วย $1/\omega$, $\|e\|_2 = 9.85 \times 10^{-3}$ และฟังก์ชันถ่ายโอนที่ได้

$$G^*(j\omega) = \frac{2.987 \times 10^{-2} (j\omega)^2 + 194(j\omega) + 1.188 \times 10^{-5}}{1.514 \times 10^{-2} (j\omega)^2 + 10(j\omega) + 1}$$

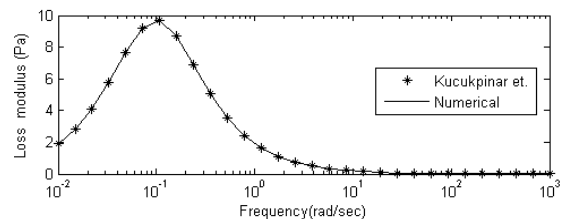
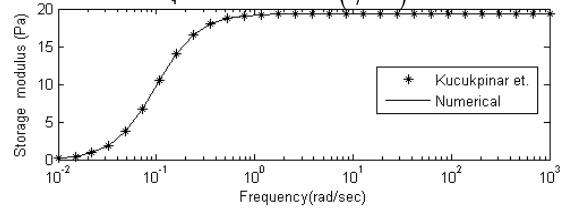
ส่วนวิธีกำลังสองน้อยสุดแบบถ่วงน้ำหนักด้วย $1/\omega^2$ และ $1/\sigma^2$ คือ $\|e\|_2 = 1.257 \times 10^{-2}$ และ $\|e\|_2 = 1.88 \times 10^{-2}$



รูปที่ 11. แสดงค่า $G'(\omega_i)$ และ $G''(\omega_i)$ กับฟังก์ชันถ่ายโอนที่สังเคราะห์ได้โดยวิธีกำลังสองน้อยสุดแบบถ่วงน้ำหนัก ($1/\omega$) ของ polyethylene



รูปที่ 12. แสดงค่า $G'(\omega_i)$ และ $G''(\omega_i)$ กับฟังก์ชันถ่ายโอนที่สังเคราะห์ได้โดยวิธีกำลังสองน้อยสุดแบบถ่วงน้ำหนัก ($1/\omega^2$) ของ polyethylene



รูปที่ 13. แสดงค่า $G'(\omega_i)$ และ $G''(\omega_i)$ กับฟังก์ชันถ่ายโอนที่สังเคราะห์ได้โดยวิธีกำลังสองน้อยสุดแบบถ่วงน้ำหนัก ($1/\sigma^2$) ของ polyethylene

5. สรุป

ผลการทดสอบโปรแกรมทั้งสองกรณีที่ได้แสดงในข้างต้น พบว่าการสังเคราะห์แบบจำลองทางคณิตศาสตร์ของวัสดุยืดหยุ่นชนิดเชิงเส้นโดยวิธีระบุเอกลักษณ์ของระบบ สามารถสรุปได้ดังนี้

1. ฟังก์ชันถ่ายโอนที่สังเคราะห์ได้ โดยการประยุกต์ใช้วิธีกำลังสองน้อยสุดแบบถ่วงน้ำหนักด้วยค่า $1/\omega$, $1/\omega^2$ และ $1/\sigma^2$ มีความถูกต้องและประสิทธิภาพดีวิธีหนึ่ง สำหรับชุดข้อมูลมีความแปรปรวน และจำนวนข้อมูลที่แตกต่างกัน ดังแสดงในรูปที่ 1-5
2. ฟังก์ชันถ่ายโอนที่สังเคราะห์ได้ โดยการประยุกต์ใช้วิธีกำลังสองน้อยสุดแบบถ่วงน้ำหนักด้วยค่า σ^2 นั้นมีค่าความผิดพลาดมาก ไม่เหมาะสมในการถ่วงน้ำหนัก
3. การประยุกต์โปรแกรมสังเคราะห์ฟังก์ชันถ่ายโอนกับชุดข้อมูลที่ได้จากการทดลองจากวัสดุ polybutadiene polymer และ Metallocene-catalyzed linear low density polyethylene resin ชนิด 350D60 สามารถหาฟังก์ชันถ่ายโอนของวัสดุยืดหยุ่นชนิดเชิงเส้นได้ ดังแสดงในรูปที่ 6 ถึง 13

การปรับปรุงและพัฒนาวิธีการสังเคราะห์ฟังก์ชันถ่ายโอนของวัสดุยืดหยุ่นชนิดเชิงเส้นนี้ โดยการประยุกต์ใช้เทคนิควิธีทางปัญญาประดิษฐ์ (Artificial intelligent), วิธีระบบปรับแต่งค่าได้ (Adaptive system) จะทำให้ได้แบบจำลองที่มีประสิทธิภาพที่ดีขึ้น

การศึกษาและวิจัยในขั้นตอนต่อไป คือการนำฟังก์ชันถ่ายโอนที่ได้เพื่อประยุกต์ใช้ในการพัฒนาออกแบบเครื่องมือวัดค่า $G'(\omega_i)$ และ $G''(\omega_i)$ และเป็นแนวทางในการวิเคราะห์คุณสมบัติและพฤติกรรมการตอบสนองทางกลศาสตร์ของวัสดุยืดหยุ่นชนิดเชิงเส้น อาทิเช่น อาหารวัสดุโพลีเมอร์ กระบวนการแข็งตัวของเลือด เป็นต้น

6. กิตติกรรมประกาศ

ขอขอบคุณมหาวิทยาลัยเทคโนโลยีสุรนารี (รหัสโครงการ SUT7-707-48-12-70) ที่ให้ทุนในงานวิจัยนี้ และขอคุณ ศ.นท.ดร.สราวุฒิ สุจิตจร และ ผศ.ดร.เอกชัย จันทสาโร ที่ได้ให้คำแนะนำ และข้อเสนอแนะในการงานวิจัย

เอกสารอ้างอิง

- [1] Levy, E.C., 1959. Complex-curve fitting, IRE Trans. Automatic Control, Vol. 4, pp. 37-43.
- [2] Katkov, M.S., Kunezov, V.A., 1978. Determine transfer function using frequency response data, Journal of Adaptive systems, Automatic regulation and Control LIAI, pp.11-17. (in russian)

- [3] Whitfield, A.H., 1986. Transfer function synthesis using frequency response data, Int. Journal of Control, Vol. 43, pp.1413-1426.
- [4] Yeon-Wook Choe., 1999. Frequency domain identification for a simple plant, SICE, pp. 1015-1020.
- [5] Kim, J.S., Song, C.K., Jeon, B.S., Ryu, J.W., Jang, Y.S., Kim, S., and Lee, S.H., 2001. A frequency domain identification method using total least squares, IEEE International Symposium on Industrial Electronics, Vol. 3, pp. 1855 – 1859.
- [6] Luc Peirlinckx, Rik Pintelon and Leo Van Biesen, 1992. Identification of the constitutive equations for linear viscoelastic composite materials, Instrumentation and Measurement Technology Conference 9th IEEE, pp. 709-715.
- [7] Yanovsky G. Yu., Basistov G. Yu. and Siginer A. Dennis., 1996. Linear inverse problems in viscoelastic continua and a minimax method for fredholm equation of the first kind, Int. J. Engng Sci., Vol.34, pp. 1221-1245.
- [8] Ping Yu, Yehia M. Haddad., 1994. A dynamic system identification method for the characterization of the rheological response of a class of viscoelastic material, Int. J. Pores Ves. & piping, Vol. 61, pp.87-97
- [9] Kwang Soo Cho, Kim Silk Woo, Lee Dong-ho, Park Soon Lee, Min Eui Kyung, Seo Ho Kwan, Kang Inn-kyu Inn, Park Soo-Young, Kwow Youngkon, 2002. A Phenomenological Model for Linear Viscoelasticity of Monodisperse Linear Polymer, Macromolecular Research, Vol.10, pp.266-272
- [10] Esra Kucukpinar, Dilhan M. Kalyon, Paul. P. Tong., 1999. Viscoelasticity of polyethylene produced with single site metallocene catalysis, SPE ANTEC Technical Papers, Vol.45, pp.1195-1200